

Starkniederschlagshöhen und -spenden gemäß KOSTRA-DWD-2010R

Auswertungszeitraum von 1951 - 2010, Januar - Dezember

Rasterfeld: 75036

Zeile: 75

Spalte: 36

Seite: 1/2

| Dauerstufe D | Wiederkehrzeit T | | | | | | | | | | | | | | | | | | |
|--------------|------------------|------|------------|------|------------|------|------------|------|------------|------|------------|------|------------|------|------------|------|------------|-------|------------|
| | 1 a | | 2 a | | 3 a | | 5 a | | 10 a | | 20 a | | 30 a | | 50 a | | 100 a | | |
| min | Std | mm | l / (s ha) | mm | l / (s ha) | mm | l / (s ha) | mm | l / (s ha) | mm | l / (s ha) | mm | l / (s ha) | mm | l / (s ha) | mm | l / (s ha) | mm | l / (s ha) |
| 5 | | 5,0 | 166,7 | 6,8 | 226,7 | 7,9 | 263,3 | 9,2 | 306,7 | 11,0 | 366,7 | 12,8 | 426,7 | 13,9 | 463,3 | 15,2 | 506,7 | 17,0 | 566,7 |
| 10 | | 7,9 | 131,7 | 10,3 | 171,7 | 11,8 | 196,7 | 13,6 | 226,7 | 16,0 | 266,7 | 18,4 | 306,7 | 19,9 | 331,7 | 21,7 | 361,7 | 24,1 | 401,7 |
| 15 | | 9,8 | 108,9 | 12,7 | 141,1 | 14,4 | 160,0 | 16,5 | 183,3 | 19,5 | 216,7 | 22,4 | 248,9 | 24,1 | 267,8 | 26,2 | 291,1 | 29,1 | 323,3 |
| 20 | | 11,1 | 92,5 | 14,4 | 120,0 | 16,3 | 135,8 | 18,8 | 156,7 | 22,1 | 184,2 | 25,4 | 211,7 | 27,3 | 227,5 | 29,7 | 247,5 | 33,0 | 275,0 |
| 30 | | 12,9 | 71,7 | 16,8 | 93,3 | 19,1 | 106,1 | 22,0 | 122,2 | 25,9 | 143,9 | 29,8 | 165,6 | 32,1 | 178,3 | 35,0 | 194,4 | 39,0 | 216,7 |
| 45 | | 14,4 | 53,3 | 19,1 | 70,7 | 21,8 | 80,7 | 25,3 | 93,7 | 29,9 | 110,7 | 34,6 | 128,1 | 37,4 | 138,5 | 40,8 | 151,1 | 45,5 | 168,5 |
| 60 | | 15,3 | 42,5 | 20,6 | 57,2 | 23,7 | 65,8 | 27,6 | 76,7 | 32,9 | 91,4 | 38,2 | 106,1 | 41,3 | 114,7 | 45,2 | 125,6 | 50,5 | 140,3 |
| 90 | | 16,8 | 31,1 | 22,4 | 41,5 | 25,6 | 47,4 | 29,7 | 55,0 | 35,3 | 65,4 | 40,9 | 75,7 | 44,1 | 81,7 | 48,2 | 89,3 | 53,8 | 99,6 |
| 120 | 2 | 17,9 | 24,9 | 23,7 | 32,9 | 27,1 | 37,6 | 31,3 | 43,5 | 37,1 | 51,5 | 42,9 | 59,6 | 46,3 | 64,3 | 50,5 | 70,1 | 56,3 | 78,2 |
| 180 | 3 | 19,6 | 18,1 | 25,7 | 23,8 | 29,3 | 27,1 | 33,8 | 31,3 | 39,8 | 36,9 | 45,9 | 42,5 | 49,5 | 45,8 | 53,9 | 49,9 | 60,0 | 55,6 |
| 240 | 4 | 21,0 | 14,6 | 27,3 | 19,0 | 31,0 | 21,5 | 35,6 | 24,7 | 41,9 | 29,1 | 48,2 | 33,5 | 51,9 | 36,0 | 56,5 | 39,2 | 62,8 | 43,6 |
| 360 | 6 | 23,0 | 10,6 | 29,6 | 13,7 | 33,5 | 15,5 | 38,4 | 17,8 | 45,0 | 20,8 | 51,6 | 23,9 | 55,5 | 25,7 | 60,4 | 28,0 | 67,0 | 31,0 |
| 540 | 9 | 25,2 | 7,8 | 32,2 | 9,9 | 36,3 | 11,2 | 41,4 | 12,8 | 48,4 | 14,9 | 55,4 | 17,1 | 59,4 | 18,3 | 64,6 | 19,9 | 71,6 | 22,1 |
| 720 | 12 | 26,9 | 6,2 | 34,1 | 7,9 | 38,4 | 8,9 | 43,7 | 10,1 | 50,9 | 11,8 | 58,2 | 13,5 | 62,4 | 14,4 | 67,7 | 15,7 | 75,0 | 17,4 |
| 1080 | 18 | 29,5 | 4,6 | 37,1 | 5,7 | 41,6 | 6,4 | 47,2 | 7,3 | 54,8 | 8,5 | 62,4 | 9,6 | 66,8 | 10,3 | 72,4 | 11,2 | 80,1 | 12,4 |
| 1440 | 24 | 31,5 | 3,6 | 39,4 | 4,6 | 44,0 | 5,1 | 49,8 | 5,8 | 57,7 | 6,7 | 65,6 | 7,6 | 70,2 | 8,1 | 76,0 | 8,8 | 83,9 | 9,7 |
| 2880 | 48 | 42,5 | 2,5 | 50,6 | 2,9 | 55,3 | 3,2 | 61,2 | 3,5 | 69,3 | 4,0 | 77,4 | 4,5 | 82,1 | 4,8 | 88,1 | 5,1 | 96,1 | 5,6 |
| 4320 | 72 | 50,6 | 2,0 | 58,8 | 2,3 | 63,6 | 2,5 | 69,6 | 2,7 | 77,8 | 3,0 | 86,0 | 3,3 | 90,8 | 3,5 | 96,8 | 3,7 | 105,0 | 4,1 |

Angaben in mm: Bemessungsniederschlagswerte h(n)

Angaben in l / (s ha): Regenspende R(n) mit $R(n) = h(n) \times 1,666667 / D[\text{min}]$

Toleranzbereiche:

+/- 10 % für $1 \text{ a} \leq T \leq 5 \text{ a}$

+/- 15 % für $5 \text{ a} < T \leq 50 \text{ a}$

+/- 20 % für $50 \text{ a} < T \leq 100 \text{ a}$

Datenbasis: KOSTRA-DWD-2010R des Deutschen Wetterdienstes. Die Regenspende wurde auf Basis des Bemessungsniederschlags zur jeweiligen Andauer berechnet.

Für die Richtigkeit und Aktualität der Angaben wird keine Gewähr übernommen. Erstellt 07/2022.

Starkniederschlagshöhen und -spenden gemäß KOSTRA-DWD-2010R

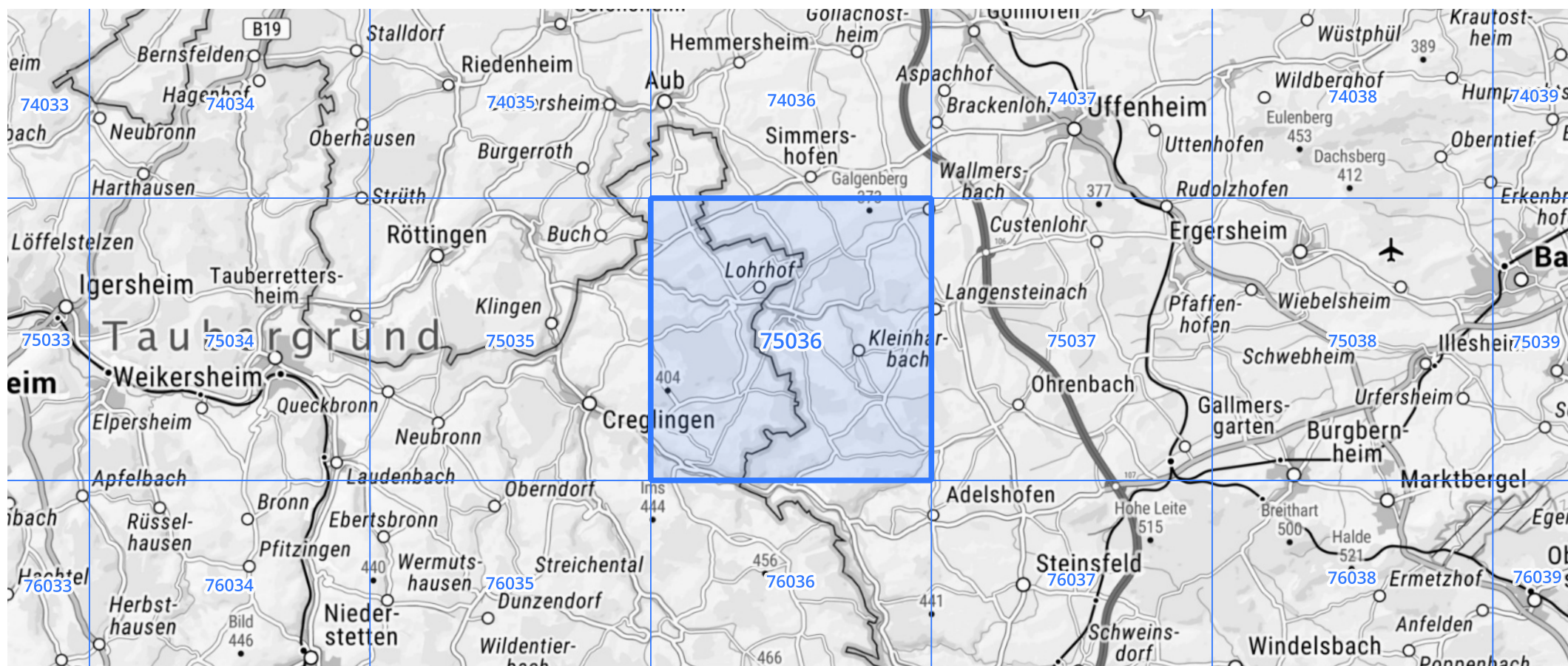
Auswertungszeitraum von 1951 - 2010, Januar - Dezember

Rasterfeld: 75036

Zeile: 75

Spalte: 36

Seite: 2/2



Quelle Rasterdaten: KOSTRA-DWD-2010R des Deutschen Wetterdienstes.

Kartendarstellung: © Bundesamt für Kartographie und Geodäsie (2022), Datenquellen: https://sgx.geodatenzentrum.de/web_public/gdz/datenquellen/Datenquellen_TopPlusOpen.html

Für die Richtigkeit und Aktualität der Angaben wird keine Gewähr übernommen. Erstellt 07/2022.